

摂動 QCD に基づく

7x-7間力と7x-7質量の理解

No. 1

Date

§1. QCD Lagrangian Chiral 対称性 Quark 質量

$\psi = \begin{pmatrix} \psi_L \\ \psi_R \end{pmatrix}$

$$\mathcal{L}_{QCD} = \sum_{f \text{ uds c b t}} \left[\bar{\psi}_L^{(f)} i \not{D} \psi_L^{(f)} + \bar{\psi}_R^{(f)} i \not{D} \psi_R^{(f)} - m_f (\bar{\psi}_L^{(f)} \psi_R^{(f)} + \bar{\psi}_R^{(f)} \psi_L^{(f)}) \right]$$

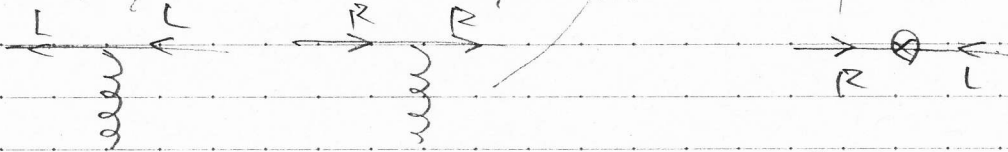
$$-\frac{1}{4} G_{\mu\nu}^a G^{\mu\nu a}$$

Chiral 変換: ψ_L と ψ_R は独立に回転変換

$\psi_L \rightarrow e^{i\theta_L} \psi_L \quad \psi_R \rightarrow e^{i\theta_R} \psi_R$

$$\bar{\psi} (i \not{D} - m) \psi = \bar{\psi}_L i \not{D} \psi_L + \bar{\psi}_R i \not{D} \psi_R - m (\bar{\psi}_L \psi_R + \bar{\psi}_R \psi_L)$$

Chiral 不変 \iff Chirality 保存 (L は ψ_L と ψ_R のみ)



QCD では $\lim_{m_f \rightarrow 0} \langle \bar{\psi} \psi \rangle \neq 0$ と $\langle \bar{\psi} \psi \rangle \neq 0$ は質量 $m_f \neq 0$ から

$\langle \bar{\psi} \psi \rangle \neq 0$

と信じている。

中解, $m_u \approx 2 \text{ MeV} \quad m_d \approx 5 \text{ MeV} \quad \ll \quad m_p \approx m_n \approx 1 \text{ GeV}$

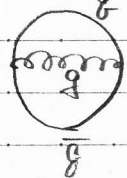
\rightarrow constituent quark mass $\sim 300 \text{ MeV}$

Chiral 対称性が自発的に破れる (SSB)。

\rightarrow Chirality が保存しない。

§1-2 Chiral 対称性の SSB の描像

何が起る... (quark, gluon が 1個ある...) 摂動の真実の力と対称性

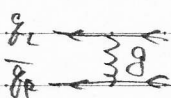


$\Delta T - \Delta E \sim 1$

$\Delta E \approx 2\omega_g - E_{\text{kin}}$

ΔE が下向き ΔT が上向き

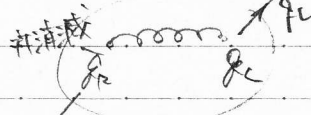
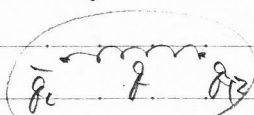
ΔT



q_L と q_R の間を引く力 ΔE が $R \rightarrow L$ と推定される

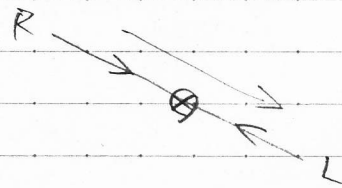
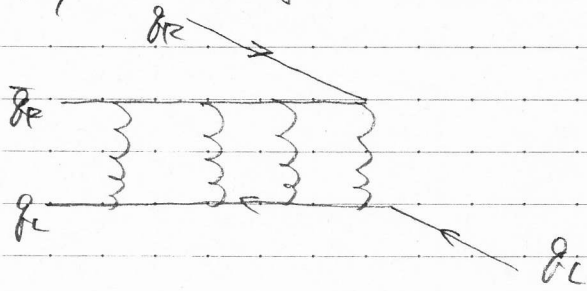
$g = u.d.(S)$

$2\omega_g - E_{\text{kin}} < 0$ - condensation



右向きが左向きに移ると $\Delta T = \Delta E$

Feynman diagram の 1. 例.



基本相互作用は Chirality を保存

真空中を propagate する
Chirality が保存 かつ 手性 粒子

非摂動的解析が必要

eg. Nambu mode / Schwinger-Dyson eq. / Lattice QCD
LTC. 摂動 QCD でも (有用な) 粒子もある。 → γ_5 問題
SSB は無理

constituent quark mass の 描像 (?) に 近づく 手性 破れ
 $\sim O(N_c)$ の 物理

§2 [準備] 擾動QCDのMS c1=0 と c1=0群

2-1 擾動QCDのc1=0

簡単+Fの gauge 場のみを計算する (ghost, ghost は無視)

$$\mathcal{L}_A = -\frac{1}{4} G_{\mu\nu}^a G^{\mu\nu a} \quad ; \quad G_{\mu\nu}^a = \partial_\mu A_\nu^a - \partial_\nu A_\mu^a + g f^{abc} A_\mu^b A_\nu^c$$

$$\mathcal{L} = \mathcal{L}_A + \mathcal{L}_{\text{gauge fixing}} + \mathcal{L}_{\text{ghost}}$$

これは bare 場と bare coupling を表している

一般に 繰りこみ

次元正規化: $D = 4 - 2\epsilon$ (時間1次元, 空間3次元)

$$g = \mu^\epsilon Z_g g_R \quad ; \quad \mu = 2\pi / a$$

次元は

次元はFは

$$A_\mu = \sqrt{Z_A} A_\mu^R$$

と置きかえて $Z_i = Z_i(\epsilon, g_R)$ とし 適当に $\epsilon \rightarrow 0$ で発散エッジと
 全ての物理量 (S行列要素, 断面積, スプレッド...) の 擾動展開を
 (UV) finite に計算できる (4 Hooft)

元は1つのパラメータ g と μ と g_R (と Z_g) に分解できる

$\rightarrow \mu$ (ある μ に依存する) と $\alpha_S = g_R^2 / 4\pi$ に関係が $\mu \rightarrow c \rightarrow \alpha_S = \alpha_S(\mu)$

MS-scheme $\mu = \frac{M}{\sqrt{4\pi}} e^{\beta}$ と書き直す 経路積分が簡単でFは9次元の場と粒子は4次元の場と粒子は4次元

$$Z_g = 1 + \frac{\alpha_S(\mu)}{4\pi} \frac{Z_1}{\epsilon} + \left(\frac{\alpha_S(\mu)}{4\pi}\right)^2 \left(\frac{Z_2}{\epsilon^2} + \frac{Z_2}{\epsilon}\right) + \left(\frac{\alpha_S(\mu)}{4\pi}\right)^3 \left(\frac{Z_3}{\epsilon^3} + \frac{Z_3}{\epsilon^2} + \frac{Z_3}{\epsilon}\right) + \dots$$

Z_A, Z_{ghost}, \dots も同様

ϵ が pole だけになる ($\epsilon^0, \epsilon^1, \dots$ は引かない)

$\rightarrow c1=0$ だけが一意に決まる

特徴: 収束性がよい (経験則)

2-2 $c1=0$ 群と running coupling

Observable $A = A(\alpha_S(\mu); 1/Q)$

$Q = A$ の典型的なエネルギースケール

擾動展開で計算

$$A(\alpha_S(\mu), 1/Q) = a_0 + a_1 \alpha_S(\mu) + \alpha_S(\mu)^2 [a_2^{(1)} \ln\left(\frac{\mu}{Q}\right) + a_2^{(2)}] + \alpha_S(\mu)^3 [a_3^{(2)} \ln^2\left(\frac{\mu}{Q}\right) + a_3^{(1)} \ln\left(\frac{\mu}{Q}\right) + a_3^{(3)}] + \dots$$

「 π - μ ϕ 」 \rightarrow ϕ は π の obs. $T = \epsilon$ μ/θ は π の obs. μ の obs. μ の obs. μ

$$\textcircled{1} \frac{\mu^\epsilon}{\theta^\epsilon} = 1 + \epsilon \ln\left(\frac{\mu}{\theta}\right) + \frac{\epsilon^2}{2} \ln^2\left(\frac{\mu}{\theta}\right) + \dots$$

$\hookrightarrow \mu \propto \mu^\epsilon \theta^{-\epsilon}$ は π の obs. μ の obs. μ

物理量は $\pi = \mu \pi - \mu$ $\mu = \mu$ (bare π の π の obs.) \rightarrow RG eq.

$$0 = \mu \frac{d}{d\mu} A(\alpha_s(\mu), \frac{\mu}{\theta})$$

$$= \left[\mu \frac{d}{d\mu} + \mu \frac{d\alpha_s(\mu)}{d\mu} \frac{d}{d\alpha_s(\mu)} \right] A(\alpha_s(\mu), \frac{\mu}{\theta})$$

$\beta(\alpha_s(\mu)) = \mu \frac{d\alpha_s(\mu)}{d\mu}$ は π の obs. μ の obs. μ

$$T = \ln\left(\frac{\mu}{\theta}\right) \quad \epsilon \text{ は } \epsilon \quad \frac{d}{d\mu} = \mu \frac{d}{d\mu}$$

$$\left(\frac{d}{dT} - \beta \right) A(\alpha_s(T)) = 0 \quad \text{or} \quad \dot{\alpha}_s = -\beta(\alpha_s) \frac{d}{d\alpha_s}$$

$$\Rightarrow A(\alpha_s(T)) = e^{\int \beta(\alpha_s) \frac{d}{d\alpha_s}} A(\alpha_s=0) = \sum_{n=0}^{\infty} \frac{T^n \beta^n}{n!} A(\alpha_s=0)$$

$$= \sum_{n=0}^{\infty} \frac{\ln^n\left(\frac{\mu}{\theta}\right)}{n!} \left[-\beta(\alpha_s) \frac{d}{d\alpha_s} \right]^n (a_0 + a_1 \alpha_s + a_2^{(0)} \alpha_s^2 + a_3^{(0)} \alpha_s^3 + \dots)$$

$$\beta(\alpha_s) = -\beta_0 \alpha_s^2 - \beta_1 \alpha_s^3 - \beta_2 \alpha_s^4 - \dots \quad \leftarrow \text{計算 } \alpha_s = \mu/\theta$$

$$n=1 \quad -\beta(\alpha_s) \frac{d}{d\alpha_s} \alpha_s = \beta_0 \alpha_s^2 + \beta_1 \alpha_s^3 + \beta_2 \alpha_s^4 + \dots \quad (*)$$

$$n=2 \quad \left[-\beta(\alpha_s) \frac{d}{d\alpha_s} \right]^2 \alpha_s = (\beta_0 \alpha_s^2 + \beta_1 \alpha_s^3 + \beta_2 \alpha_s^4) \frac{d}{d\alpha_s} [(\alpha_s) \text{ or } \alpha_s^2] \\ = 2\beta_0 \alpha_s^3 + 3\beta_0 \beta_1 \alpha_s^4 + \dots$$

$$n=3 \quad \left[-\beta(\alpha_s) \frac{d}{d\alpha_s} \right]^3 \alpha_s = 3! \beta_0^3 \alpha_s^4 + \dots$$

$$A(\alpha_s(T)) = a_0 + \sum_{n=0}^{\infty} \left[a_1 \alpha_s \left[\beta_0 \alpha_s \ln\left(\frac{\mu}{\theta}\right) \right]^n + \beta_1 \alpha_s^2 \left[\beta_0 \alpha_s \ln\left(\frac{\mu}{\theta}\right) \right]^n \right]$$

LL (Leading Log)

NLL (Next-to-leading Log)

NNLL (Next-to-next-to-leading Log)

7.1)

$$A(\alpha_s(\mu) = \frac{\mu}{\Lambda}) = a_0 + a_1 \alpha_s(\mu) \left[1 + \alpha_s(\mu) \left(\beta_0 \ln\left(\frac{\mu}{\Lambda}\right) + \frac{a_2^{(0)}}{a_1} \right) + \alpha_s(\mu)^2 \left(\beta_0^2 \ln^2\left(\frac{\mu}{\Lambda}\right) + \dots \right) \right]$$

LLは β_0 で決まる

$$\mu \frac{d\alpha_s}{d\mu} = -\beta_0 \alpha_s(\mu)^2 - \beta_1 \alpha_s(\mu)^3$$

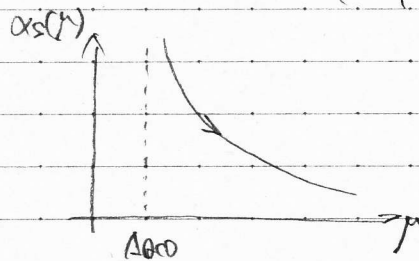
\downarrow 以後 $\beta_0/2\pi$ と書く \rightarrow 以後はLLと無視

1-loop running

$$\alpha_s(\mu) = \frac{2\pi}{\beta_0 \ln(\mu/\Lambda_{QCD})} \quad \Lambda_{QCD} : \text{種分定数}$$

逆に解くと

$$\Lambda_{QCD} = \mu \exp\left(-\frac{2\pi}{\beta_0 \alpha_s(\mu)}\right)$$



Λ_{QCD} は擾動論が破綻するスケール

$$\alpha_s(\mu) \sim O(\pi)$$

実験値と比較可能

$$\Lambda_{QCD} \sim 200 - 300 \text{ MeV}$$

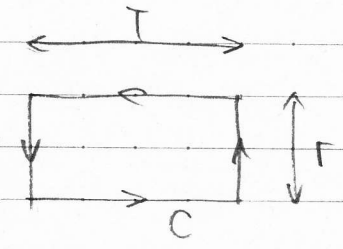
§3 Quark 関数 QCD potential

Wilson loop $W[A_\mu] = \text{Tr} \left[P \exp \left(i g \oint_C dx^\mu A_\mu(x) \right) \right]$

Wilson loop の期待値から QCD potential $V_{\text{QCD}}(r)$ を

$$\langle W[A_\mu] \rangle = \int \mathcal{D}A_\mu W[A_\mu] e^{i \int d^4x \mathcal{L}_{\text{QCD}}}$$

$$= \text{const.} \times e^{-iT V_{\text{QCD}}(r)} \quad \text{as } T \rightarrow \infty$$



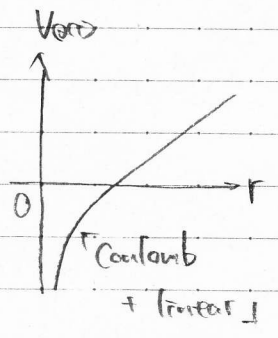
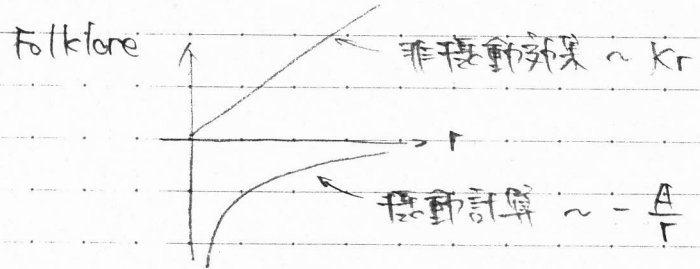
$V_{\text{QCD}}(r)$ は

以下に説明が理由から、重く quark (= static color charge) の間を "静電" と表す。

例として "lattice QCD" に格子数値計算から

$$V_{\text{QCD}}(r) \approx -\frac{A}{r} + Kr \quad (+ \text{const.})$$

この中 1/r の項は静電効果、K の項は線形効果



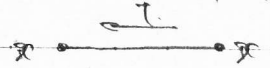
=> 同調!!

特に $r \leq 0.5 \text{ fm}$

静電効果が線形効果より優勢になる。

QCD potential の意味をより明確にするために、Wilson loop の経路積分表示。

Wilson loop の経路積分表示



$$e^{i \int_0^T dt A_0(t, x)} \delta^3(x - y) = \int \mathcal{D}\psi \mathcal{D}\psi^\dagger \psi(t, x) \psi^\dagger(0, y) \exp \left[i \int d^4x \mathcal{L}_{\text{HQET}} \right]$$

$$\mathcal{L}_{\text{HQET}} = \psi^\dagger(x) i D_t \psi(x) \quad D_t = \partial_t - i g A_0(x)$$

$\psi(x)$: 複素スカラー場 (SU(N) の N 表現)

heavy quark effective theory

両端を T で繋ぐ。同じ方程式に従う。同じ初期条件を設け、 $x = x'$ とする。

これを扱うと

$$W[A_\mu] \delta^3(x - x') \delta^3(y - y')$$

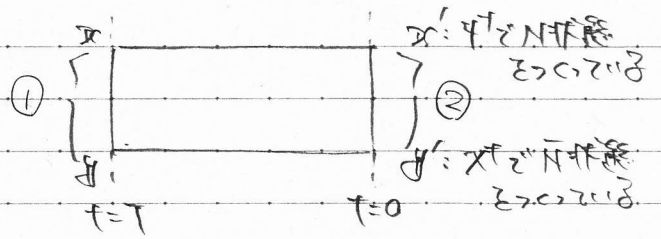
$$= \int \mathcal{D}\psi \mathcal{D}\psi^\dagger \mathcal{D}x \mathcal{D}x' \exp \left[i \int d^4x (\psi^\dagger i D_t \psi + x^\dagger i D_t x) \right]$$

$$\times \text{tr} \left[\psi(x; T) \psi^\dagger(x'; T) x(y; T) \right] \quad \text{--- ①}$$

$$\times \text{tr} \left[\psi^\dagger(x'; 0) \psi(x; 0) x^\dagger(y'; 0) \right] \quad \text{--- ②}$$

$\psi(x)$ $x(x)$ 複素スカラー場 $D_t = \partial_t \pm i g A_0$
 N 表現 N 表現

$$\phi(x, y; T) = P e^{-i\theta \int_0^T dz \cdot A(z, T)}$$



光子の正準形式変換

$$|\alpha\rangle = \psi^\dagger(x) \phi(x, y; 0) \psi^\dagger(y) |0\rangle$$

$$|\beta\rangle = \psi^\dagger(x) \phi(x, y; T) \psi^\dagger(y) |0\rangle$$

$$H = H_{\text{rod}} + i\theta \psi^\dagger A_0 \psi - i\theta \psi^\dagger A_0 \psi$$

εc2

$$\langle W[A_\mu] \rangle = \int \mathcal{D}A_\mu e^{i \int dx^4 L_{\text{rod}}(A_\mu)} W[A_\mu] = \frac{\langle \beta | e^{-iHT} | \alpha \rangle}{\int \mathcal{D}(x, y) \int \mathcal{D}(y, x)}$$

$$= \text{const.} \times e^{-iT \text{Var}(T)} \quad \text{as } T \rightarrow \infty$$

つまり、Var(T) の |α> 状態と overlap した光子の固有状態のうち、最低エネルギーの状態が「固有値」

$$\langle \beta | e^{-iHT} | \alpha \rangle = \int_n \langle \beta | n \rangle \langle n | \alpha \rangle e^{-iE_n T} \xrightarrow{T \rightarrow \infty} \langle \beta | n_0 \rangle \langle n_0 | \alpha \rangle e^{-iE_{n_0} T}$$

↑
-iE_{n_0} T は εc2

補足

非相対論的 Schrödinger 場 a Lagrangian (→ Schrödinger eq.)

$$\mathcal{L}_{\text{em}} = \psi^\dagger \left(i\partial_t - \frac{\mathcal{D}^2}{2m} \right) \psi$$

つまり m → ∞ とすると、L_{\text{HDET}} = \mathcal{L}_{\text{em}}

§9 QCD potential の 1/r-2D

§9-1 概略

QCD potential を摂動QCDで計算すると

$$V_{QCD}(r) = -C_F \frac{\alpha_s(r)}{r} \left[1 + C_1 \alpha_s(r) + C_2 \alpha_s(r)^2 + \dots \right]$$

この α_s に 関する展開が 得られる

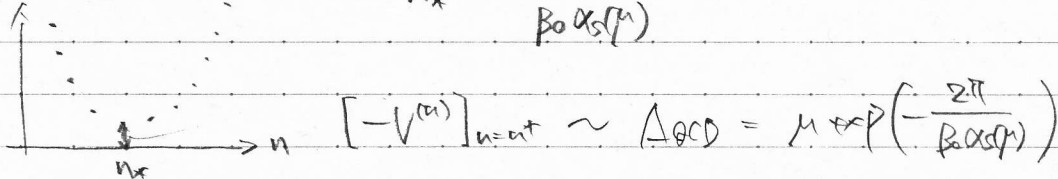
<1> 群の 基礎にある方法で C_n を 推定 (計算) すると

$$C_n \approx n! \left(\frac{\beta_0}{2\pi} \right)^n$$

と なる。 $n!$ の せい で 高次で 急激に 増大する 級数 と なる。

$$-V^{(n)} = C_n \alpha_s^n = \left(C_F \frac{\alpha_s}{r} \right)^n$$

$$n_* \approx \frac{2\pi}{\beta_0 \alpha_s(r)}$$



[背景] 漸近級数

eg. $F(\lambda) := \int_{-\infty}^{\infty} dx \exp\left(-\frac{1}{2}x^2 - \frac{\lambda}{4}x^4\right)$

$\lambda > 0$ 理論で $F(\lambda) = \dots$ として 可なり。

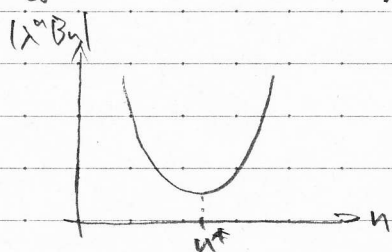
$\text{Re } \lambda > 0$ で 積分は well defined

$\text{Re } \lambda < 0$ で 積分は 発散

$\lambda = 0$ が 真性特異点

λ で 展開したとき 収束半径は 0

$$F(\lambda) = \int_{-\infty}^{\infty} dx e^{-\frac{1}{2}x^2} \sum_{n=0}^{\infty} \frac{\left(-\frac{\lambda}{4}x^4\right)^n}{n!} = \sum_{n=0}^{\infty} \lambda^n B_n \quad B_n = \int_{-\infty}^{\infty} dx e^{-\frac{1}{2}x^2} \frac{x^{4n}}{n!}$$



$$\delta F_N = \left| F(\lambda) - \sum_{n=0}^N \lambda^n B_n \right|$$

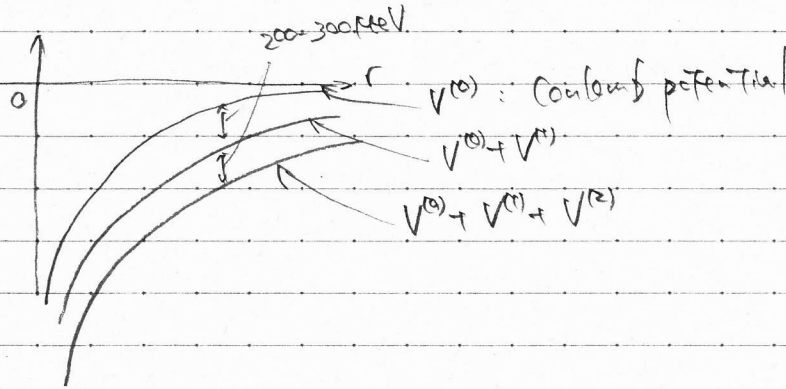
if $\text{Re } \lambda \geq 0$ and $\exists N \leq n_*$ and $\forall n > N$ then $\delta F_N \approx |B_n|_{n=n_*}$

$$N \approx n_* \text{ として } \delta F_N \approx |B_n|_{n=n_*}$$

QCD 中 $\alpha_s = 0$ は真性特異点だそう。

→ α best 漸近級数だそう

• $\Lambda_{QCD} = \Lambda_{QCD} \sim 200-300 \text{ MeV}$



§4-2 詳細
摂動計算

$$V_{QCD}(r) = -C_F \frac{\alpha_s(r)}{r} \left[1 + \frac{\alpha_s}{4\pi} \left(\beta_0 \ln(\mu r) + a_1 \right) + \left(\frac{\alpha_s}{4\pi} \right)^2 \left(\beta_0^2 \ln^2(\mu r) + \dots \right) \right]$$

$C_F = \frac{4}{3}$ $T_F^a T_F^a = C_F \mathbb{1}$ $\mu \frac{d\alpha_s}{d\mu} = -\frac{\beta_0}{2\pi} \alpha_s^2$

運動量空間で LL 区間だけ potential を計算 (FT):

$$V_{\beta_0}(r) = - \int \frac{d^3q}{(2\pi)^3} e^{i\mathbf{q}\cdot\mathbf{r}} G \frac{4\pi\alpha_s(q)}{q^2} \quad \text{w/ } g = |g|$$

とある。

$$\alpha_s(q) = \frac{2\pi}{\beta_0 \ln(q/\Lambda_{QCD})} \left[1 + \frac{\beta_0 \alpha_s(r)}{2\pi} \ln(q/r) \right] \quad \text{1-loop running coupling}$$

$\Lambda_{QCD} = \mu_{loop} \left(-\frac{2\pi}{\beta_0 \alpha_s(\mu)} \right)$

LL 区間 g -space で $T = L$ だけ $T = \Sigma$ 区間。

$g = \Lambda_{QCD}$ で $\alpha_s(q)$ は pole が あり $V_{\beta_0}(r)$ は ill-defined

$\alpha_s(r)$ の展開が各項は well-defined

$$V_{\beta_0}(r) = -C_F 4\pi\alpha_s(r) \sum_{n=0}^{\infty} \int \frac{d^3q}{(2\pi)^3} \frac{e^{i\mathbf{q}\cdot\mathbf{r}}}{q^2} \left[-\frac{\beta_0 \alpha_s}{4\pi} \ln\left(\frac{q^2}{q^2}\right) \right]^n$$

$$= -C_F 4\pi\alpha_s(r) \sum_{n=0}^{\infty} \left[\frac{\beta_0 \alpha_s(r)}{4\pi} \right]^n f_n(r; \mu) + n!$$

各 $f_n(r; \mu)$ は well-defined だが、漸近級数で何かが起こる。

→ $O(\Lambda_{QCD})$ の不定性が生じる。

この式を可換に母関数と定義

[Borel 変換]

$$F(r, \mu; u) := \int \frac{d^3 p}{(2\pi)^3} \frac{e^{i p \cdot r}}{p^2} \left(\frac{u^2}{p^2}\right)^n = \sum_n f_n(r, \mu) u^n$$

$$\left(\frac{u^2}{p^2}\right)^n = e^{u \ln\left(\frac{u^2}{p^2}\right)} = \sum_n \frac{u^n}{n!} \left[\ln\left(\frac{u^2}{p^2}\right)\right]^n$$

$$= \frac{1}{4\pi^{3/2} r} \left(\frac{\mu r}{2}\right)^{2n} \frac{\Gamma\left(\frac{1}{2} - n\right)}{\Gamma(1+n)}$$

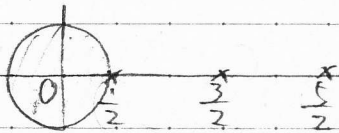
→ 4th pole exists

$$\left(\frac{u^2}{p^2}\right)^{n+1} = \frac{1}{\Gamma(1+n)} \int_0^\infty d\alpha \alpha^n e^{-\alpha p^2}$$

→ 使用法 & 積分法 (Gauss 積分の形)

最後の 1/2 積分も Borel 変換して実行する。

$f_n(r, \mu)$ の $n \gg 1$ の漸近形を求め、 $F(r, \mu; u)$ の解析性から分かる
↳ Borel plane



収束半径 = 1/2

renormalon pole

→ 4th pole, $f_n(r, \mu) \approx \frac{\mu}{2\pi^2} z^n$ for $n \gg 1$ 分かる。

果敢、 F は $u \sim \frac{1}{2} z^n$ Laurent 展開可能

$$F \sim \frac{1}{4\pi^{3/2} r} \left(\frac{\mu r}{2}\right)^n \frac{1}{\frac{1}{2} - u} \frac{1}{\sqrt{u/2}} = \frac{\mu}{2\pi^2} \frac{1}{1-2u} = \sum_{n=0}^\infty \frac{\mu}{2\pi^2} z^n u^n$$

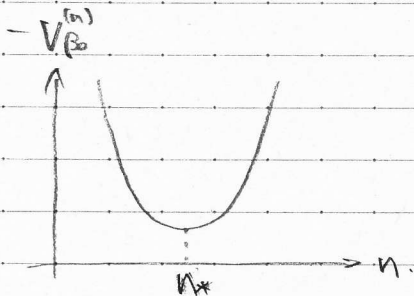
$$\sum_n \left[f_n(r, \mu) - \frac{\mu}{2\pi^2} z^n \right] u^n$$

→ 3rd pole F かつ $u = \frac{1}{2}$ の pole 存在。→ 1st pole 存在。→ 収束半径 $u = \frac{1}{2}$ まで広がる。つまり、 $f_n \sim \frac{\mu}{2\pi^2} z^n$ の漸近形は n が大きくなるにつれて成り立たなくなる。

→ $n \gg 1$

$$V_{\beta_0}^{(n)} \sim \left(\frac{\beta_0 \alpha_s}{2\pi} \right)^n \frac{1}{2\pi^2} \left(\frac{\beta_0 \alpha_s}{2\pi} \right)^n \times n! = \text{const.} \times a^n \times n!$$

\curvearrowright r indep. !!
 $a = \frac{\beta_0 \alpha_s}{2\pi}$



最小値を求めよう

$$a^{n_*-1} (n_*-1)! \approx a^{n_*} n_*!$$

$$n_* \approx \frac{1}{a} = \frac{2\pi}{\beta_0 \alpha_s(\mu)}$$

$$a^{n_*} n_*! \approx a^{1/a} \sqrt{\frac{2\pi}{a}} \left(\frac{1}{a}\right)^{1/a} e^{-1/a} = \sqrt{\frac{2\pi}{a}} e^{-1/a}$$